



รายการอ้างอิง

ภาษาไทย

กนกวรรณ เสรีกุล. การประยุกต์เภสัชจลนศาสตร์ใช้กำนยาและตับยาเจนตามเชื้อ
ของผู้ป่วยไทย วิทยานิพนธ์ปริญญามหาบัณฑิต จุฬาลงกรณ์มหาวิทยาลัย
, 2534.

เกรียง ตั้งส่ง่า. ส้วริวิทยาของไส้หนับอายุรแพทย์. กรุงเทพฯ: หจก การ
พิมพ์, 2534.

เติมชัย ไซขันวัติ. โรคตับและทางเดินน้ำดี. กรุงเทพฯ: ยุนตี้พับลิเคชั่น,
2528.

ทวีสุข กรรมล้วน และ วีไลรัตน์ นุชประมูล. หลักวิเคราะห์และปฏิบัติการเคมี
คลินิก. กรุงเทพฯ: พานิชย์การพิมพ์, 2529.

พรกิษฐ์ ใจท์เลขา. โรคตับและทางเดินน้ำดี. กรุงเทพฯ : ชัยเจริญการพิมพ์,
2533.

พรเพ็ญ เปรมโยธิน. หลักการออกฤทธิ์และพิษของยา : ฉบับปรับปรุงแก้ไข.
ม.ป.ก., 2536.

พรหมินทร์ เลิศสุริย์เศษ และคณะ. ภาวะเป็นพิษต่อไตจาก Aminoglycosides
ในโรงพยาบาลสอนแก่น. ขอนแก่นเวชสาร 9 (2528): 31-45.

รเนศ แก้วกระเจ่าง และ พรมพิศ สุวรรณกุล. การให้ Aminoglycoside
วันละครั้ง. จดหมายศาสตร์ 6 (2536) : 41-48.

ยง ภู่สุวรรณ และ พงษ์พีระ สุวรรณภูมิ. โรคตับในเด็ก. กรุงเทพฯ: โรงพิมพ์จุฬาลงกรณ์, 2533.

สมเกียรติ วัฒนศิริชัยกุล. Portal hypertension : A pathophysiological approach to treatment. พิมพ์ครั้งที่ 2. กรุงเทพฯ: ขุนทดพับลิเคชัน, 2536.

สมิง เก่าเจริญ. การบริหารยาในผู้ป่วยที่เป็นโรคตับ. คลินิก. 5 (2532) 112-118.

สุพงษ์ เอกพงษ์คิริพงษ์. เภสัชจลนศาสตร์. ปีตานี : ภาควิชาเภสัชกรรม คณะเภสัชศาสตร์ มหาวิทยาลัยสงขลานครินทร์, 2531.

ภาษาอังกฤษ

Abbott, TDx FSE Training. Diagnostic Division, Abbott Laboratories, North Chicago, IL 60064.

Amnuay Thithapandha. Drug disposition: Concept and application. Bangkok: An Offsette System in the Department of Pharmacology, 1983.

Barza, M., and Lauermann, M. Why monitor serum levels of gentamicin ?. Clin. Pharmacokinetic. 3 (1978): 202-215.

Baum, M., Stirling, G.A., and Dawson, J.L. Further study into obstructive and ischemic renal damage. Br. Med. J. 2 (1969): 229-231.

Better, O.S., and Massry, S.G. Effect of chronic bile duct obstruction on renal handling of calcium and magnesium. J. Lab. Clin. Med. 79 (1972): 794-800.

Bodies, G.P., et al. Feasibility of administering aminoglycosides antibiotics by continuous intravenous infusion. Antimicrob. Agents. Chemother. 8 (1975): 328.

Bowels, S. K., and Schentag, J. Aminoglycoside Commentary. In W.E. Evans, J.J. Schentag, and W.J. Jusko(eds.), Applied Pharmacokinetics: Principle of Therapeutic Drug Monitoring, pp. 382-398. Washington: Applied Therapeutics, 1986.

Cabrera, J., et al. Aminoglycoside nephrotoxicity in cirrhosis : Value of urinary β_2 - microglobulin to discriminate functional renal failure. Gastroenterology. 82 (1982): 97-105.

Carlson, J.A. and Harrington J.T. Laboratory evaluation of renal function. In R.W. Schrier, and C.W. Gottschalk, Disease of the kidney. Vol. 1 5th ed., pp. 361-369. Boston: Little, Brown and Company, 1993.

Chow, A., Hecht, R., and Winter R. Gentamicin and carbenicillin penetration into the septic joint. N. Eng. J. Med. 285 (1971): 178.

- Cortes, J., Gamba, G., Conterras, Ana., and Pena, J.C.
Amikacin nephrotoxicity in patient with chronic
liver disease. Rev. Invest. Clin. 42 (1990): 93-98.
- Craig, C.R., and Stitzel, R.E. Modern Pharmacology. 3rd
ed. Boston: Little, Brown and Company, 1990.
- Craig, W.A., and Vogelman, B.S. The post antibiotic effect.
Ann. Intern. Med. 106 (1987): 900-902.
- Culter, R.E., Gyselnek, W.P., Fleet, W.P., and Forrey.
Correlation of serum creatinine or serum corre-
lation concentration and gentamicin half life. JAMA.
219 (1972): 1037-1041.
- Daikos, G.L. et al. Adaptive resistance to aminoglycosides
antibiotics from first exposure down-regulation.
J. Infect. Dis. 162 (1990): 414-420.
- Desai, T.K., and Tsang, T.K. Aminoglycoside nephrotoxicity
in obstructive jaundice. Am. J. Med. 85 (1988): 47-
50.
- Finegold, S.M. Kanamycin. Arch. Intern. Med. 104 (1959):
15.
- Gamba, G., et al. Hypoalbuminemia as a risk factor for
amikacin nephrotoxicity. Rev. Invest. Clin. 42
(1990): 204-209.

Gerding, D.N., Hall, W.A., and Schierl, E.A. Antibiotic concentrations in ascitic fluid of patients with ascites and bacterial peritonitis. Ann. Intern. Med. 86 (1977): 708.

Gorbor, A.U. Comparison of once - daily versus thrice daily humor equivalent dosing of Aminoglycosides: Basic considerations and experimental approach. J. Drug. Dev. 1(suppl 3) (1988): 17-23.

Gordon, R.C., Regamely, C., and Kirby, W.M.M. Serum protein binding of the aminoglycoside antibiotics. Antimicrob. Agents Chemother. 2 (1972): 214-216.

Gill, M.A., and Kern, J.W. Altered gentamicin distribution in ascites patients. Am. J. Hosp. Pharm. 36 (1979): 1704-1706.

Gilman, A.G., Rall, T.W., Nies, A.S., and Taylor, P. Goodman and Gilman's: The Pharmacological Basis of Therapeutics. 8th ed. Republic of Singapore:Pergamon Press, Inc., 1991.

Gluo, R.H., and Paruk, R.A. Stability of gentamicin tobramycin and amikacin in combination with four β -lactam antibiotic. Antimicrob. Agents Chemother. 24 (1983): 474-477.

Gordon, A.U. Comparison of once - daily versus thrice daily human equivalent dosing of aminoglycosides : basic considerations and experimental approach. J. Drug Dev. 1 (Suppl 3) (1988): 17-23.

Gyselynek, A.M., Forry, A., and Culter, R. Pharmacokinetics of gentamicin distribution of plasma and renal clearance. J. Infect. Dis. 124 (1972): 70-76.

Hansten, P.D., and Horn, J.R. Drug Interaction. 6th ed. Philadelphia: Lea & Febiger, 1989.

Henley III, C.M. and Schacht, J. Pharmacokinetics of aminoglycoside antibiotics in blood inner ear fluids and tissue and their relationship to ototoxicity. Audiology. 27 (1988): 137-146.

Hull, J.H., and Sarubbi, F.A. Gentamicin serum concentration: Pharmacokinetic prediction. Ann. Intern. Med. 8 (1976) 183-184.

Humes, D., Satrasinha, M., and Weinberg, L. Calcium is a competitive inhibitor of gentamicin-renal membrane binding interactions and dietary calcium supplementation protects against gentamicin nephrotoxicity. J. Clin. Invest. 73 (1984): 134-147.

Jackson, G.G., and Arcieri G. Ootoxicity of gentamicin in man : a survey and controlled analysis of clinical experience in the United States. J. Infect. Dis. 124 Suppl (1971): S130.

Jolley, M.E., et al. Fluorescence polarization immunoassay I. Monitoring aminoglycoside antibiotics in serum and plasma. Clin. Chem. 27 (1981a): 1190-1197.

_____, et al. Fluorescence polarization immunoassay III. An automated system for therapeutic drug determination. Clin. Chem. 27 (1981b): 1575-1579.

Kalent, H., and Roschlau, W.H.E. Principle of Medical Pharmacology. 5th ed. Toronto: B.C. Decker, 1989.

Kaloyanides, F.J., and Pastoriza-Munoz, E. Aminoglycosides nephrotoxicity. Kidney Int. 18 (1980): 571-582.

Kaye, D., Levision, M.E., and Labovitz, E.D. The unpredictability of serum concentrations of gentamicin: Pharmacokinetics of gentamicin in patients with normal and abnormal renal function. J. Infect. Dis. 130 (1974): 150-154.

Kesera Assadamongkol, Wiwat Tapaneyaolarn and Susiri Chatasingh. Urinary N-Acetyl-Beta-D-Glucosaminidase (NAG) in aminoglycoside nephrotoxicity. J. Med Assoc. Thai. 72 (Suppl 1) (1989): 42-46.

Korner, B. Gentamicin therapy administered by intermittent intravenous injection. Acta. Pathol. Microbiol Scand. 241 (Suppl 81) (1973): 15-23.

Lampasona, V. and Crass, R.E. Patient selection for serum gentamicin level. Ther. Drug. Monit. 5 (1983): 255-262.

Lietman, P.S. Liver disease , Aminoglycosides antibiotics and renal dysfunction. Hepatology. 8 (1988): 966 -968.

Lipsky J.J., and Lietman,P.S. Aminoglycoside inhibition of a renal phosphatidylinositol phospholipase C. J. Pharmacol. Exp. Ther. 220 (1982): 287-291.

Marsh, D.C., Matthew, R., and Persellin, R.A. Transport of gentamicin into synovial fluid. JAMA. 228 (1974): 607.

Mattie, H., Craig, W.A. and Pechere, J.C. Determinants of efficacy and toxicity of aminoglycosides. J. of Antimicrob. Chemo. 24 (1989): 281-293.

Moore, R.D., Smith, C.R., and Lietman, P.S. The association of aminoglycoside plasma levels with mortality in patients with gram - negative bacteremia. J. Infect. Dis. 149 (1984): 443-448.

_____, Smith, C.R. and Lietman, P.S. Increase risk of renal dysfunction due to interaction of liver disease and aminoglycoside. Am. J. Med. 80 (1986): 1093-1097.

- Myers, D.R., et al. Gentamicin binding to serum and plasma proteins. Clin. Pharmacol. Ther. 23 (1978): 356-360.
- Portnoy, M.J., et al. Safety of the bolus administration by intermittent intravenous injection. Antimicrob. Agents. Chemo. 9 (1976): 633-638.
- Popelka, S.R., Miller, D.M., Holen, J.J., and Kelso, D.M. Fluorescence polarization immunoassay II. Analyzer for rapid, precise measurement of fluorescence polarization with use if disposable cuvettes. Clin. Chem. 27 (1981): 1198-1201.
- Sande, M.A., and Mandell, G.L. Antimicrobial agents : The aminoglycosides. In A.G. Gilman, T.W. Rall., A.S. Nies, and P. Taylor (eds.), Goodman and Gilman's : The pharmacological basis of therapeutics. 8th ed., pp. 1098-1116. Republic of Singapore : Pergamon Press, 1991.
- Sawchuk, R.J., and Zaske, D.E. Pharmacokinetic of dosing regimens which ultilize multiple intravenous infusion : gentamicin in gentamicin in burn patients. J. Pharmacokinet. Biopharm. 4 (1976): 183-195.
- Sawyer, C.L., Moore, R.D., and Smith, C.R. A model for pridicting nephrotoxicity in patients treated with aminoglycoside. J. Infect. Dis. 153 (1986): 1062-1068.

Schentag, J.J., Cerra, F.B., and Plaut, M.E. Clinical and pharmacokinetic characteristics of aminoglycoside nephrotoxicity in 201 critically ill patients. Animicrob. Agents. Chemother. 21 (1982): 721-726.

Schuster, V.L. and Seldin, D.W. Renal clearance. In C.W. Seldin, and G. Giebisch, The kidney: Physiology and pathophysiology. 2nd ed., pp. 943-951. Newyork : Raven Rress, 1992.

Shargel, L., and Yu, A.B. Applied Biopharmaceutic and Pharmacokinetics. New Yock : Appleton Century Crofts, 1980.

Sherlock, S. and Dooley, J. Disease of the liver and biliary system. 9th ed. London: Blackwell Scientific Publicatio, 1993.

Silverblatt, F.J., and Kuehn, C. Autoradiography of gentamicin by the rat proximal tubular cell. Kidney Int. 15 (1979): 355-345.

Skopnik, H., et al. Pharmacokinetics and antibacterial activity of daily gentamicin. Arch. Dis. Child. 67 (1992): 57-61.

Smith, C.K., et al. Cefotaxime compared with nafcillin plus tobramycin for serious bacterial infection: A randomized, double blind trial. Ann. Intern. Med. 101 (1984): 167-177.

Tablan, O.C., Reyes, M.P., Rintelmann, W.R., and Lerner, A.M. Renal and auditory toxicity of high-dose, prolonged therapy with gentamicin and tobramycin in pseudomonas endocarditis. J. Infect. Dis. 149 (1984): 257-263.

Thompson, F.D. Laboratory and biochemical tests. In G.D. Chisholm, and W.R. Fair, Scientific foundations of urology. 3rd., pp. 49-53. Chicago : Year Book Medical, 1990.

Verpooten, G.A., et al. Once-daily dosing decrease renal accumulation of gentamicin and netilmicin. Clin. Pharmacol. Ther. 45 (1989): 22-27.

Windholz, M., Budavari, s., Stroumtdsos, L.Y., and Fertdig, M.N. The Merck Index:An Encyclopedia of Chemicals and Drugs. 9th ed. New Jersey : Merck, 1976.

Zaske, D.E. Aminoglycosides. In W.E. Evans, J.J. Schentag, and W.J. Jusko (eds.), Applied Pharmacokinetics : Principle of Therapeutic Drug Monitoring, pp. 331 -381. Washington: Applied Therapeutics, 1986.

., Cipolle, R.J., Rotschafer, J.C. Gentamicin pharmacokinetic in 1640 patients : Method for control of serum concentration. Antimicrob. Agents. Chemother. 2 (1982): 407-411.

_____, et al. Rapid individualization of gentamicin dosage regimens in 66 burn patients. Burns. Incl. Ther. Inj. 7 (1981): 215.





ภาควิชานวัตกรรม

ศูนย์วิทยทรัพยากร จุฬาลงกรณ์มหาวิทยาลัย

ภาคผนวก ก

การศึกษาเกลือซูลนศ้าสตอร์แบบ Two compartment model

การศึกษาเกลือซูลนศ้าสตอร์แบบ two compartment model แบ่งร่างกายเป็น 2 ส่วน ตามปริมาณเลือดที่มาเลี้ยงอวัยวะ และ คุณสมบัติในการกระจายตัวของยาจากเลือดเข้าสู่ peripheral tissue จึงนำมาใช้อธิบายลักษณะการเปลี่ยนแปลงของยาบางชนิดในร่างกายได้ดีกว่าการศึกษาเกลือซูลนศ้าสตอร์แบบ one compartment model โดยกำหนดให้มีการกระจายยาในส่วนต่าง ๆ ดังนี้

1. Central compartment หมายถึง เลือด น้ำนมอุ่น เชลล์ และ อวัยวะที่มีเลือดไหลเวียนในปริมาณสูง ได้แก่ ปอด หัวใจ ตับ ไต และ ลิมฟาร์กที่เป็นต้น สามารถถูกกระจายตัวในส่วนต่าง ๆ เหล่านี้ได้ดีกว่ายาใน 2-3 นาที หลังจากบริหารยา

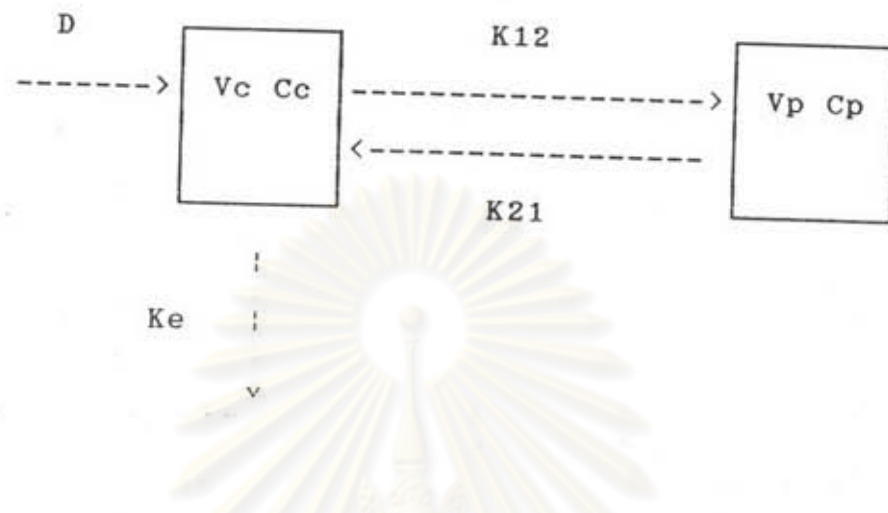
2. Peripheral compartment หมายถึง เนื้อเยื่อที่มีเลือดไหลเวียนน้อยเปรียบเทียบกับ central compartment ได้แก่ กล้ามเนื้อ ไขมัน ผิวนัง ความสามารถในการกระจายตัวของยาใน peripheral compartment นี้เกิดขึ้นช้ากว่าใน central compartment

ลักษณะที่สำคัญของเกลือซูลนศ้าสตอร์แบบ two compartment model

1. แบ่งร่างกายเป็น 2 ส่วน คือ central compartment และ peripheral compartment ตามลักษณะปริมาณเลือดที่มาเลี้ยง และ ความสามารถของยาที่จะแทรกซึมจากกระแสเลือดเข้าสู่เนื้อเยื่อต่าง ๆ

2. ใน central compartment การกระจายตัวของยาเกิดขึ้นรวดเร็วกว่าการกระจายตัวของยาใน peripheral compartment

3. กำหนดให้ยาถูกกำจัดออกจากร่างกายทาง central compartment ทั้งนี้เนื่องจากตับและไตซึ่งเป็นอวัยวะสำคัญในการกำจัดยาเป็นอวัยวะที่มีเลือดมาเลี้ยงมากจึงจัดอยู่ใน central compartment



รูปที่ 23 แสดงแบบจำลองของเภสัชจลนศาสตร์แบบ Two compartment model

เม็ด D = ขนาดยาที่บริหารเข้าร่างกาย

Cc = ความเข้มข้นของยาใน central compartment

Cp = ความเข้มข้นของยาใน peripheral compartment

Vc = ปริมาตรการกระจายตัวของยาภายใน central compartment

Vp = ปริมาตรการกระจายตัวของยาภายใน peripheral compartment

K12 = อัตราคงที่ของการกระจายตัวของยาจาก central compartment ไปสู่ peripheral compartment

K21 = อัตราคงที่ของการกระจายตัวของยาจาก peripheral compartment กลับสู่ central compartment

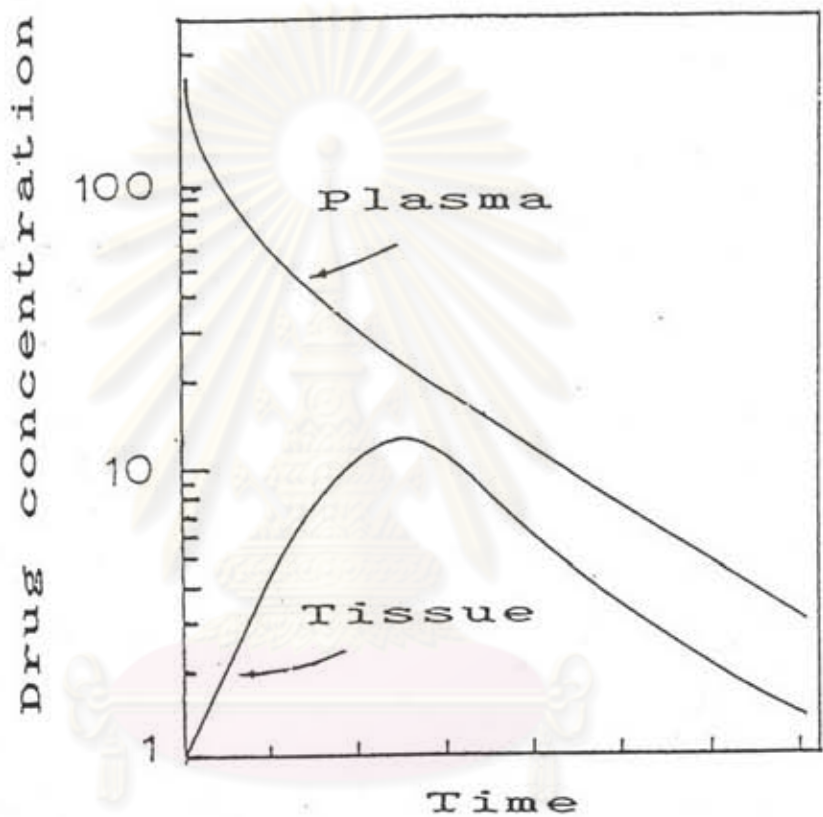
Ke = อัตราคงที่ของการกำจัดยาจาก central compartment

4. การล่าเลี้ยงยาเข้าห้องเรือออกจากแต่ละ compartment มีลักษณะเป็น first order kinetic คืออัตราเร็วของกระบวนการการแปรผันตรงกับระดับความเข้มข้นของยาในเลือด

5. เกสซูลนศาสตร์แบบ two compartment model ภายนอกการบริหารยา ระดับยาในเลือดมีการเปลี่ยนแปลงแบ่งได้เป็น 2 ระยะ ดังนี้

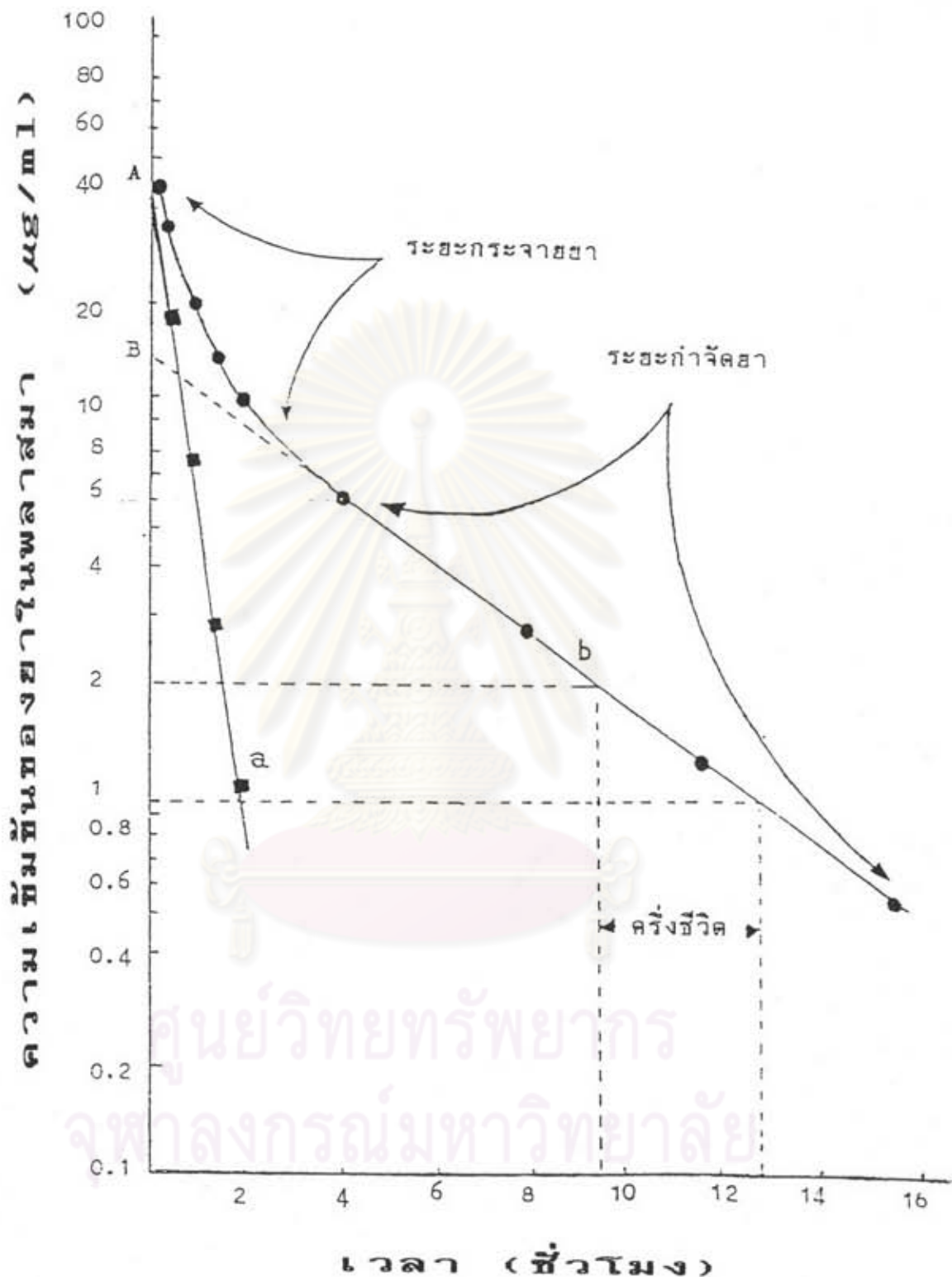
5.1 ระยะกระจายยา (Distribution phase) เป็นระยะที่ระดับยาในเลือดลดลงอย่างรวดเร็ว เนื่องจากมีการล่าเลี้ยงยาจาก central compartment เข้าสู่ peripheral compartment ถ้าหากเราจะเลือดเพื่อวัดระดับยาในเลือดในระยะนี้ พบว่าระดับยาในเลือดค่อนข้างลดลง ขณะที่ระดับยาใน peripheral tissue เพิ่มสูงขึ้นเรื่อยๆ แสดงดังรูปที่ 24 ในระยะกระจายยา มีการล่าเลี้ยงยากลับไปกลับมาระหว่าง central compartment และ peripheral compartment จนถึงจุดสมดุลที่อัตราการล่าเลี้ยงยาจาก central compartment เข้าสู่ peripheral compartment เท่ากับอัตราการล่าเลี้ยงยาจาก peripheral compartment กลับสู่ central compartment ในระหว่างนี้ เส้นกราฟแสดงความสัมพันธ์ระหว่างระดับยาในเลือดกับเวลาจะมีลักษณะเป็นเส้นโค้ง แสดงดังรูปที่ 25

5.2 ระยะกำจัดยา (Elimination phase) เป็นระยะที่ยาถูกกำจัดออกจากร่างกาย ระดับยาในเลือด และ peripheral tissue ลดลงตามลำดับ เส้นกราฟแสดงความสัมพันธ์ระหว่างระดับยาในเลือดกับเวลาไม่มีลักษณะลดลงเป็นเส้นตรง แสดงดังรูปภาพที่ 25



ศูนย์วิทยาการ จุฬาลงกรณ์มหาวิทยาลัย

รูปที่ 24 แสดงความสัมพันธ์ระหว่างระดับยาในพลาสม่า (plasma) และ เนื้อเยื่อ (tissue) กับเวลาในเกลือชลนศาสตร์แบบ Two compartment model



รูปที่ 25 แสดงความสัมพันธ์ระหว่างความเข้มข้นของยาในพลาสม่า (plasma) กับเวลา และลักษณะเส้นกราฟในระบบทุบตันยา และ ระบบทุบตันยาของยา ของยาที่มีเกลisch จลนศาสตร์แบบ Two compartment model

ภาคผนวก ๒

Fluorescence Polarization Immunoassay (FPIA)

TDx analyzer เป็นเครื่องมือที่ใช้หลักการของ fluorescence polarization immunoassay (FPIA) ในการตรวจวิเคราะห์หาระดับยา สอร์โรมน ตลอดจนสารต่าง ๆ ในเลือดและสิ่งส่งตรวจ เช่น น้ำลาย น้ำเหลือง และไข้สันหลัง ได้อย่างมีประสิทธิภาพ (Abbott, operation manual) โดยใช้ปฏิกริยาการแข่งขันระหว่าง antigen หรือสารที่ต้องการทราบปริมาณกับ labelled antigen หรือสารบริสุทธิ์ที่ติดฉลากด้วยสารเรืองแสงในการยึดกับ antibody และวัดแสง fluorescence polarization ที่เปล่งออกจาก labelled antigen ซึ่งจับกับ antibody โดยตรง ทำให้ TDx analyzer เป็นเครื่องมือที่ความเฉพาะเจาะจง (specificity) แม่นยำ (precise) น่าเชื่อถือ (reliable) และรวดเร็ว ในการวิเคราะห์หาระดับยาในร่างกายต่าง ๆ (Jolley, et al., 1981a)

สารที่ใช้ในการวิเคราะห์หาปริมาณสารโดยวิธี FPIA ประกอบด้วย

1. Pure antigen คือ สารมาตรฐานบริสุทธิ์
2. Labelled antigen คือ สารบริสุทธิ์ที่ติดฉลากด้วยสารเรืองแสง
3. Antibody

Pure antigen ที่ใช้ในปฏิกริยาต้องมีความบริสุทธิ์สูง ไม่มีสารอื่นเจือปน ซึ่งมีประโยชน์นำมาทำเป็น labelled antigen โดยนำมาติดฉลากด้วย fluorescein isothiocyanate (FITC) ใช้ฉีดสัตว์ทดลองกระดูกให้สร้าง antibody สำหรับนำมาใช้วิเคราะห์หาปริมาณสารด้วยวิธี FPIA นอกจาก pure antigen ที่ความเข้มข้นต่างๆ ยังมีประโยชน์ในการนำมาใช้สร้าง calibration curve ได้อีกด้วย

Labelled antigen ผลิตจากการนำ pure antigen มาติดฉลากด้วยสี FITC ซึ่งมีความคงตัวสูงแม้อยู่ในรูปที่จับกับสารอื่น เมื่อ labelled antigen ถูกกระดูกด้วยแสงที่มีความยาวคลื่น 525-550 นาโนเมตร (Abbott, operation manual) จะปลดปล่อยแสง fluorescence polarization

ชิ่งมีลักษณะเป็นสารเรืองแสงสีเขียวออกมานา

Antibody เป็นโปรตีนชนิด immunoglobulin G ผลิตขึ้นจากการฉีด pure antigen เข้าไปในสัตว์ทดลอง เช่น แกะ กระต่าย หนู เพื่อกระตุ้นให้สร้าง antibody เมื่อเราเลือดสัตว์ทดลองแยกเฉพาะ serum ออกมานา จะได้ antiserum หรือ antibody เมื่อนำเข้าไปหาความเข้มข้นที่เหมาะสมสามารถนำมาระบบปฏิกิริยาได้ดี คุณสมบัติที่สำคัญของ antibody ต้องมีความสามารถจับต่อ labelled antigen และสารที่ต้องการทราบปริมาณ (Ag) รวมทั้งทำปฏิกิริยากับ labelled antigen และ antigen ได้ดี แม้ความเข้มข้นต่ำ ๆ

หลักการของ Fluorescence Polarization Immunoassay (FPIA)

FPIA เป็นวิธีวิเคราะห์หาปริมาณสารวิธีหนึ่ง โดยอาศัยการแข่งขันระหว่าง antigen หรือสารที่ต้องการทราบปริมาณ และ labelled antigen ใน การแข่งขันจับกับ antibody



รูปที่ 26 แสดงปฏิกิริยาการแข่งขันระหว่าง Ag และ Ag* ในการแข่งจับกับ Ab

เมื่อ Ab	คือ Antibody
Ag	คือ Antigen หรือ สารที่ต้องการทราบปริมาณ
Ag*	คือ Labelled antigen
Ab-Ab	คือ การจับกันระหว่าง Ag กับ Ab
Ag*-Ab	คือ การจับกันระหว่าง Ag* กับ Ab

วิธีวิเคราะห์หาปริมาณสารโดย FPIA นี้ ใช้ Antigen และ labelled antigen ในปริมาณที่เท่ากัน แข่งขันกันจับกับ Ab ที่มีจำนวนจำกัด และคงที่ ทั้งนี้จะนับปฏิกิริยาอยู่ในภาวะสมดุลย์ labelled antigen ที่จับกับ antibody ในภาวะสมดุลย์นั้นคงอยู่ในภาวะ ground state ซึ่งมีระดับพลังงาน

ต่ำสุดและมีความคงตัวสูง เมื่อกระตุ้นด้วยแสงที่มีความยาวคลื่น 485 นาโนเมตร (Abbott, operation manual) labelled antigen ที่จับกับ Antibody จะคัดกลืนพลังงานแสงไว้ทำให้ระดับพลังงานสูงขึ้น และเข้าสู่ภาวะ excite state ซึ่งเป็นภาวะที่ไม่คงตัว ไม่เลกูลของ labelled antigen ที่จับกับ antibody จึงพยายามกลับลงสู่ภาวะ ground state ดังเดิมโดยการปลดปล่อยพลังงานที่คัดกลืนไว้ออกมาในรูปของ fluorescence polarization

Fluorescence polarization ที่เกิดขึ้นจะมีปริมาณมากน้อยเพียงใดนั้นขึ้นอยู่กับปริมาณของ labelled antigen ที่จับกับ antibody โดยมีสัดส่วนกันโดยตรง ตั้งนั้นถ้า antigen หรือสารที่ต้องการทราบปริมาณมีความเข้มข้นสูง สามารถแยกแยะจับกับ antibody ได้มาก ทำให้ labelled antigen จับกับ antibody ได้ในปริมาณที่น้อยกว่า fluorescence polarization จึงเกิดขึ้นในปริมาณต่ำ ในทางตรงกันข้ามถ้า antigen หรือสารที่ต้องการทราบปริมาณมีความเข้มข้นต่ำจึงแยกแยะจับกับ antibody ได้น้อยทำให้ labelled antigen จับกับ antibody ได้ในปริมาณที่มากกว่า fluorescence polarization จึงเกิดในปริมาณสูง

หลักการทำงานของ TDX analyzer

TDX analyxer เป็นเครื่องมือระบบอัตโนมัติที่ใช้วิเคราะห์หาปริมาณสาร การทำงานของเครื่องเริ่มต้นจาก tungsten หรือ halogen lamp ซึ่งเป็นแหล่งกำเนิดแสงที่ใช้กระตุ้นสารตัวอย่าง แสงจากแหล่งกำเนิดแสงมีความยาวคลื่นแตกต่างกัน เมื่อผ่าน filter ที่อยู่ด้านหน้าจะถูกกรองเหลือเพียงแสงสีน้ำเงินที่มีความยาวคลื่น 485 นาโนเมตร จากนั้นจึงส่งผ่านไปยัง beamplitter ซึ่งทำหน้าที่แยกแสงออกเป็น 2 ล่าแสงล่าแสงหนึ่งผ่านไปยัง reference detector ซึ่งทำหน้าที่วัดความเข้มของแสง และปรับความเข้มแสงที่ออกจากการแหล่งกำเนิดแสงให้อยู่ในระดับที่เหมาะสม ขณะที่อีกล่าแสงหนึ่งผ่านไปยัง liquid crystal ทำหน้าที่ปรับแสงสีน้ำเงินให้เหลือเพียงรูปแบบเดียว และควบคุมให้อยู่ในแนว horizontal และ vertical สลับกันในการกระตุ้นสารตัวอย่าง เมื่อสารตัวอย่างถูกกระตุ้นทำให้ labelled antigen ที่จับกับ antibody มีระดับพลังงานสูงขึ้นเข้าสู่ภาวะ excite state ซึ่งเป็นภาวะที่ไม่คงตัว ไม่เลกูลของ labelled antigen และ antibody พยายามกลับคืนสู่ภาวะ ground state ดังเดิม

โดยการปลดปล่อยแสงสีเขียวที่มีระดับพลังงาน และ ความยาวคลื่นแตกต่างกันอยู่ในช่วง 525-550 นาโนเมตร ออกมาน แสงดังกล่าวจะผ่าน emission filter ซึ่งทำหน้าที่แยกแสงให้เหลือความยาวคลื่นเดียว และส่งผ่านไปยัง vertical polarizer ซึ่งยอมให้ผ่านเฉพาะแสงสีเขียวที่อยู่ในแนว vertical เท่านั้น Fluorescence polarization จะเกิดขึ้นได้ก็ต่อเมื่อ labelled antigen อยู่ในรูปที่จับกับ antibody เมื่อ labelled antigen จับกับ antibody ก็ทำให้มีขนาดромเล็ก ในที่นี้เมื่อถูกกระดับดูจึงหมุนได้ด้วย แสงสีเขียวที่เปล่งออกจาก labelled antigen ที่จับกับ antibody ภายหลังถูกกระดับจะผ่าน vertical polarizer ออกมาน และอยู่ในระบบเดียวกับแสงสีน้ำเงินที่ผ่าน liquid crystal ก็ทำให้เกิด polarization แต่ labelled antigen ที่อยู่ในรูปอิสระไม่จับกับ antibody นั้นจะมีขนาดромเล็กสามารถหมุนได้อย่างอิสระ ภายหลังถูกกระดับ แสงสีเขียวที่เปล่งออกจาก labelled antigen จึงอยู่ในระบบที่ต่างจากแสงสีน้ำเงินที่ผ่านจาก liquid crystal ก็ทำให้ไม่เกิด polarization polarization ที่เกิดขึ้นจะถูกแปลงเป็นตัวเลขโดย photomultiplier tube จากนั้นนำไปเทียบกับ calibration curve ที่บันทึกไว้ในหน่วยความจำของเครื่อง และแปลงผลออกมาน เป็นความเข้มข้นของสารตัวอย่างทาง printout

การสร้างกราฟมาตรฐาน (Calibration curve)

Calibration curve สร้างขึ้นจากการนำ pure antigen ที่ความเข้มข้นต่าง ๆ มาวัดระดับ polarization หากที่ labelled antigen และ antibody มีปริมาณคงที่ น่าค่า polarization ที่วัดได้จาก pure antigen ในแต่ละความเข้มข้นมาสร้าง calibration curve plot ลงบนกราฟชนิด log-logit ก็เห็นได้ polarization เป็นแกนต์ติง และ pure antigen ที่ความเข้มข้นต่าง ๆ เป็นแกนนอน

TDX analyzer เป็นเครื่องมือซึ่งทำงานโดยใช้ระบบอัตโนมัติ การที่เครื่องจะยอมรับ calibration curve ไว้ในหน่วยความจำได้นั้น จะเป็นต้องผ่านเกณฑ์ทั้งหมด 3 ข้อดังนี้

1. Polarization error (PERR) คือ ความคลาดเคลื่อนในการวัด polarization ของเครื่อง ต้องอยู่ในช่วงที่สามารถยอมรับได้ สานรับ gentamicin ค่า PERR ต้องไม่เกิน 3.5

2. Root mean squared error (RMSE) คือ ค่าความคลาดเคลื่อนเฉลี่ยของกระบวนการทั้งหมดในการวัดหาระดับสารที่ต้องการทราบปริมาณ โดยต้องอยู่ในช่วงที่กำหนด ส่วนรับ gentamicin ค่า RMSE ต้องไม่เกิน 2

3. เมื่อตรวจสอบ calibration curve ตัวอย่างสารที่ทราบค่าความเข้มข้น 3 ความเข้มข้น หรือที่เรียกว่า ตัวควบคุม (control) ความเข้มข้นของ control ทั้ง 3 ที่เครื่อง TDx analyzer วัดได้ ต้องตรงกับความเข้มข้นที่แท้จริงของ control โดยอยู่ในช่วงที่กำหนด ดังนี้

สาร L มีความเข้มข้นเฉลี่ย $1 \mu\text{g}/\text{ml}$ ความเข้มข้นที่ TDx analyzer วัดได้ต้องอยู่ระหว่าง $0.85-1.15 \mu\text{g}/\text{ml}$

สาร M มีความเข้มข้นเฉลี่ย $3 \mu\text{g}/\text{ml}$ ความเข้มข้นที่ TDx analyzer วัดได้ต้องอยู่ระหว่าง $3.6-4.4 \mu\text{g}/\text{ml}$

สาร H มีความเข้มข้นเฉลี่ย $8 \mu\text{g}/\text{ml}$ ความเข้มข้นที่ TDx analyzer วัดได้ต้องอยู่ระหว่าง $7.2-8.8 \mu\text{g}/\text{ml}$

ศูนย์วิทยพรพยากร
จุฬาลงกรณ์มหาวิทยาลัย

ภาคผนวก ๘

การประเมินวิธี Fluorescence polarization immunoassay (FPIA)

ในการวิเคราะห์หาระดับความเข้มข้นของ Gentamicin ใน serum

สามารถประเมินวิธี FPIA ใน การวิเคราะห์หาระดับความเข้มข้นของ ได้จากการหาความเที่ยงตรง และ การหาความแม่นยำ ดังนี้

1. การหาความเที่ยงตรง (precision) คือ การหาความแน่นอน ของวิธี FPIA ใน การวิเคราะห์หาปริมาณ gentamicin ใน serum ตัวอย่างเดียวกัน

1.1 Intraday precision คือ การหาความเที่ยงตรงของ FPIA ใน การวิเคราะห์หาปริมาณ gentamicin ใน serum ตัวอย่างเดียวกัน ภายในวันเดียวกัน แต่ที่เวลาต่างกัน มีขั้นตอนดังนี้

1.1.1 เตรียม gentamicin ใน serum ที่ความเข้มข้น 0.5, 6, 10 $\mu\text{g}/\text{ml}$

1.1.2 วิเคราะห์หาปริมาณ gentamicin ใน serum ความเข้มข้นละ 3 ครั้ง โดยวิเคราะห์ภายในวันเดียวกัน แต่ที่เวลาต่างกัน

1.1.3 นำผลการวิเคราะห์ที่ได้ในแต่ละความเข้มข้นมา คำนวณหาค่าเฉลี่ย (mean, \bar{x}) ส่วนเบี่ยงเบนมาตรฐาน (standard deviation, SD) และนำไปคำนวณร้อยละสัมประสิทธิ์แห่งการกระจาย (Percent coefficient of variation, % CV) จากสูตร ดังนี้

$$\bar{x} = \frac{\sum \bar{x}}{n}$$

$$SD = \sqrt{(x - \bar{x})^2 / (N-1)}$$

$$\% CV = \frac{SD}{\bar{x}} \times 100$$

เมื่อกำหนดให้ n คือ จำนวนครั้งที่ทำการวิเคราะห์หา gentamicin ใน serum ในแต่ละความเข้มข้น

1.2 Interday precision คือ การหาความเที่ยงตรงของ FPIA ในการวิเคราะห์ยาปริมาณ gentamicin ใน serum ตัวอย่างเดียวกัน ในวันต่างกัน

1.2.1 เครื่อม gentamicin ใน serum ที่ความเข้มข้น 0.5, 6, 10 $\mu\text{g}/\text{ml}$

1.2.2 วิเคราะห์ยาปริมาณ gentamicin ใน serum ความเข้มข้นละ 3 ครั้ง วันละครั้ง เป็นเวลา 2 วัน

1.2.3 นำผลการวิเคราะห์ที่ได้ในแต่ละความเข้มข้นมา ค่าวนพยายามค่าเฉลี่ย ส่วนเบี่ยงเบนมาตรฐาน และ ค่าร้อยละของสัมประสิทธิ์แห่ง การกระจาย

2. การหาความแม่นยำ (Accuracy) คือ การประเมินความถูกต้อง ของเครื่องมือในการวิเคราะห์ยาปริมาณ gentamicin ใน serum ที่ความเข้มข้นต่าง ๆ

2.1 Percent recovery

2.1.1 เครื่อม gentamicin ใน serum ที่ความเข้มข้น 0, 0.5, 1.5, 3, 6, 10 $\mu\text{g}/\text{ml}$ กำหนดให้เป็นค่าความเข้มข้นของ gentamicin ที่เครื่อม

2.1.2 วิเคราะห์ยาปริมาณ gentamicin ใน serum โดยวิธี FPIA ความเข้มข้นละ 3 ครั้ง กำหนดให้เป็นความเข้มข้นของ gentamicin ที่วิเคราะห์ได้ นำผลวิเคราะห์ในแต่ละความเข้มข้นไปค่าวนพยายามค่าเฉลี่ย

2.1.3 นำไปค่าวนพยายาม percent recovery จากสูตร

$$\text{percent recovery} = \frac{\text{ความเข้มข้นของ gentamicin ที่วิเคราะห์ได้}}{\text{ความเข้มข้นของ gentamicin ที่เครื่อม}} \times 100$$

2.1.4 นำ percent recovery ของ gentamicin ในแต่ละความเข้มข้น มาค่าวนพยายามค่าเฉลี่ย และ ส่วนเบี่ยงเบนมาตรฐาน

ผลการประเมินประสิทธิภาพของ FPIA ในการวิเคราะห์ยาปฏิรูป Gentamicin ใน serum

ตารางแสดงผล Interday precision ส่าหรับ Gentamicin ใน serum
ที่ความเข้มข้น 0.5, 6, 10 $\mu\text{g}/\text{ml}$

ความเข้มข้นของ gentamicin ใน serum ที่เตรียม ($\mu\text{g}/\text{ml}$)	0.5*	6*	10*
ความเข้มข้นเฉลี่ยที่ FPIA วิเคราะห์ได้ ($\mu\text{g}/\text{ml}$) $\bar{X} \pm \text{SD}$	0.5330 \pm 0.0264	6.0433 \pm 0.0602	10.0166 \pm 0.0351
ค่าร้อยละของสัมประสิทธิ์แห่งการกระจาย (%CV)	4.9811	0.9961	0.3504

* วิเคราะห์ยา gentamicin ใน serum ความเข้มข้นละ 3 ครั้ง

ตารางแสดงผล Interday precision ส่าหรับ Gentamicin ใน serum ที่ความเข้มข้น 0.5, 6, 10 $\mu\text{g}/\text{ml}$

ความเข้มข้นของ gentamicin ใน serum ที่เตรียม ($\mu\text{g}/\text{ml}$)	0.5*	6*	10*
ความเข้มข้นเฉลี่ยที่ FPIA วิเคราะห์ได้ ($\mu\text{g}/\text{ml}$) $\bar{X} \pm \text{SD}$	0.5250 \pm 0.0288	6.0400 \pm 0.0501	10.0050 \pm 0.0413
ค่าร้อยละของสัมประสิทธิ์แห่งการกระจาย (%CV)	5.4857	0.8294	0.4127

* วิเคราะห์ยา gentamicin ใน serum ความเข้มข้นละ 3 ครั้ง

ตารางแสดงผล Percent recovery สำหรับ Gentamicin
ใน serum ที่ความเข้มข้น 0-10 $\mu\text{g}/\text{ml}$

ความเข้มข้นของ gentamicin ใน serum ที่เตรียม ($\mu\text{g}/\text{ml}$)	ค่าเฉลี่ยความเข้มข้นของ gentamicin ใน serum ที่วิเคราะห์ได้ ($\mu\text{g}/\text{ml}$)* mean \pm SD	Percent recovery
0	0.0500 \pm 0.0435	-
0.5	0.5300 \pm 0.0264	106
1.5	1.5300 \pm 0.0208	102.44
3	3.0600 \pm 0.0400	102.00
6	6.0133 \pm 0.0305	100.02
10	10.0300 \pm 0.0655	100.30
		102.1923 \pm 2.2141

* วิเคราะห์หา gentamicin ใน serum ความเข้มข้นละ 3 ครั้ง

ศูนย์วิทยาศาสตร์
จุฬาลงกรณ์มหาวิทยาลัย

ภาคผนวก ๔

การประเมินการทำงานของไตจาก serum creatinine

การตรวจหาระดับ serum creatinine เป็นวิธีที่ใช้แพร่หลายมากที่สุดในทางคลินิก เพื่อประเมินสมรรถภาพในการทำงานของไต (Carlson and Harrington, 1993; Schuster and Seldin, 1992) creatinine เป็นสารซึ่งสร้างจาก creatine พบได้ทั่วไปในกล้ามเนื้อ ตับท่าน้ำที่สังเคราะห์ creatine จากกรด aminoglycine, arginine, methionine creatine ที่สังเคราะห์ขึ้นจะ diffuse เข้าสู่กระเพาะเลือดเพื่อไปเลี้ยง cell ต่าง ๆ โดยเฉพาะที่ cell กล้ามเนื้อซึ่ง creatine จะถูกเปลี่ยนแปลงเป็น phosphocreatine เพื่อใช้เป็นแหล่งพลังงานสำรองของกล้ามเนื้อในขณะที่ร่างกายทำงานประมาณว่า creatine และ phosphocreatine เปลี่ยนเป็น creatinine 2 % ต่อวัน creatinine ส่วนใหญ่ถูกกำจัดออกจากรูปแบบ plasma โดยการกรองผ่าน腎臟 และ ขับออกทางปัสสาวะโดยไม่มีการคุ้งกลับที่ท่อไต ในภาวะที่ไตทำงานบกพร่อง อัตราการกรองผ่าน腎臟 (Glomerular filtration rate, GFR) ลดลง ยอมทำให้ creatinine ถูกกำจัดออกจากร่างกายได้น้อยลง ระดับ creatinine ในเลือดเพิ่มสูงขึ้น ดังนั้นเราจึงใช้ระดับ serum creatinine ประเมินการทำงานของไตได้ การนำระดับ serum creatinine ก่อนที่การทำงานของไตผิดปกติมาเปรียบเทียบกับ serum creatinine ในขณะที่ไตทำงานบกพร่อง ทำให้สามารถประเมินประสิทธิภาพในการทำงานของไตที่เปลี่ยนแปลงไปได้ (ทวีสุข และวิไลรัตน์, 2529) การทำงานของไตที่ผิดปกติในระดับเล็กน้อยพบว่า serum creatinine สูงขึ้นไม่มากนัก ระดับ serum creatinine จะเพิ่มสูงขึ้นอย่างชัดเจนก็ต่อเมื่อ GFR ลดต่ำกว่า 30 ml/min (Thompson, 1990) ดังนั้น serum creatinine จึงเป็นตัวบ่งชี้การทำงานของไตที่ผิดปกติในระดับ mild ได้ไม่ชัดเจนนัก

ภาคผนวก ๒

แสดงผลที่ได้จากการวิเคราะห์หาระดับความเข้มข้นของ Gentamicin ใน serum โดยเครื่อง TDx analyzer

DATE: 03/25/94
 TIME: 14:50:18
 SERIAL #: 18453
 LOCK= 1
 ASSAY: GENTAMICIN
 CARGOUSEL: 2
 SPLUVOL= 0.50
 REPS= 1
 GAIN= 20
 CALIB.DATE: 08/01/94
 CALIB.TIME: 09:21:14
 CONC= UG/ML

DILUTION PROTOCOL

LOC	SAMPLES		BLK I
	CONC	NET P	
1	11.03 HI	106.58	80.24
2	14.09 HI	95.83	75.15
3	11.73 HI	103.75	135.01
4	10.70 HI	108.03	132.46
5	9.10	116.10	138.42
6	8.43	120.05	135.07
7	3.71	162.55	140.98

ภาคผนวก ฉ

แสดงผล Print out ที่ได้จากการสร้างกราฟมาตรฐานโดยเครื่อง TDx analyzer

DATE: 03/01/94
TIME: 09:21:14

SERIAL #: 18453
LOCK= 1

ASSAY: GENTAMICIN

CALIBRATION

VOL= 1.00

REPS= 1

GAIN= 20

CONC= UG/ML

I.D.	NET P	NET I	BLANK I
1 A	205.39	5303.3	99.9
2 B	196.96	5333.5	99.0
3 C	172.06	5373.2	97.4
4 D	138.04	5538.3	98.2
5 E	102.73	5559.4	99.9
6 F	83.66	5689.5	97.8

I.D.	CONC	AUGP	FITP	PERR
A	0.00	205.39	205.39	0.00
B	0.50	196.96	197.56	-0.60
C	1.50	172.06	171.49	0.57
D	3.00	138.04	138.33	-0.29
E	6.00	102.73	102.72	0.01
F	10.00	83.66	83.63	0.03

RMSE= 0.31

LOC	CONC	SAMPLES	
		NET P	BLK I
7	0.98	185.30	103.71
8	4.08	121.81	98.66
9	8.59	88.48	146.01



ประวัติผู้เขียน

นางสาว ดาวสรวง ใจเลี้ยง เกิดเมื่อวันที่ 21 พฤษภาคม พ.ศ. 2514 ที่จังหวัดนนทบุรี ส่าเร็จการศึกษาปริญญาตรีพยาบาลศาสตรบัณฑิต จากวิทยาลัยพยาบาลสภากาชาดไทย เมื่อปีการศึกษา 2534 และเข้าศึกษาต่อในหลักสูตร วิทยาศาสตรมหาบัณฑิต สาขาวิชาเภสัชวิทยา บัณฑิตวิทยาลัย จุฬาลงกรณ์มหาวิทยาลัย ในปีการศึกษา 2535

ศูนย์วิทยทรัพยากร
จุฬาลงกรณ์มหาวิทยาลัย